

## بررسی خواص مکانیکی و مغناطیسی ماده‌ی مرکب لایه‌ای $\text{Cu}/\text{Ni}/\text{Fe}_3\text{O}_4$ تولید شده به روش اتصال نورد تجمعی (ARB)\*

امیرحسین اسلامی<sup>(۱)</sup>سید مجتبی زبرجد<sup>(۲)</sup>محمد محسن مشکسار<sup>(۳)</sup>

### چکیده

روش تغییر شکل مومسان شدید (Severe Plastic Deformation) به عنوان یکی از روش‌های تولید مواد با اندازه دانه‌ی نانومتری مطرح می‌باشد. برای ایجاد یک ساختار با دانه‌های نسبتاً ریز، لازم است تا از طریق اعمال کرنش‌های مومسان زیاد، چگالی بالایی از نابجایی‌ها ایجاد شوند. فرایند نورد تجمعی به عنوان یکی از پرکاربردترین روش‌های اعمال تغییر شکل مومسان شدید و دست‌یابی به ساختارهای نانومتری به‌ویژه در ورق‌ها و در مقیاس صنعتی، مطرح می‌باشد. در پژوهش حاضر، از فرایند اتصال نورد تجمعی برای تولید ماده‌ی مرکب لایه‌ای  $\text{Cu}/\text{Ni}/\text{Fe}_3\text{O}_4$  استفاده شده است. برای این منظور، از مس و نیکل خالص تجاری و نانو ذرات  $\text{Fe}_3\text{O}_4$  استفاده شده است. تعداد پنج مرحله نورد تحت شرایط بدون استفاده از روانکار همراه با پیش‌گرمایش در دمای  $500^{\circ}\text{C}$  قابل از هر مرحله نورد، اعمال شد. نمونه‌های استاندارد از درون قطعات نورد شده تهیه شد و ریزساختار آن‌ها با استفاده از میکروسکوپ نوری و الکترونی و خواص مکانیکی آن‌ها به وسیله انجام آزمون‌های سختی و کشش، ارزیابی شد. افزون بر این، نقش همزمان ذرات تعویت کننده‌ی اکسید آهن و نورد بر رفتار مغناطیسی ماده‌ی مرکب لایه‌ای توسط دستگاه مغناطیسی سنج (Vibrating Sample Magnetometer) بررسی شد.

**واژه‌های کلیدی** فرایند نورد تجمعی، خواص مکانیکی و مغناطیسی، ساختار لایه‌ای

### Investigation of Mechanical and Magnetic Properties of $\text{Cu}/\text{Ni}/\text{Fe}_3\text{O}_4$ Multi-Layer Composite Produced by Accumulative Roll Bonding (ARB)

A. H. Eslami

S. M. Zebarjad

M .M. Moshksar

#### Abstract

Techniques of severe plastic deformation have been successfully used for the production of novel metallic microstructures. Among different types of these techniques, accumulative roll bonding (ARB) has been extensively used to produce multi-layered composites. In the present study, a new manufacturing process for  $\text{Cu}/\text{Ni}-1\text{vol}\% \text{Fe}_3\text{O}_4$  composites was developed by using Copper and Nickel sheets together with micron sized  $\text{Fe}_3\text{O}_4$  particles as the starting materials. It was observed that as the number of ARB passes increased, the Nickel layers were necked and fractured. After five ARB passes, a multi-layer  $\text{Cu}/\text{Ni}-\text{Fe}_3\text{O}_4$  composite including homogeneously distributed fragmented Nickel layers with the  $\text{Fe}_3\text{O}_4$  particles in the Copper matrix was achieved. The structure as well as the mechanical properties of this composite were studied at different stages of ARB process. With an increase in the applied strain during ARB passes, the strength of composite samples increased, but the elongation decreased. In addition, the magnetic behavior by magnetic device detector (VSM) and tensile tests were performed in order to investigate the mechanical behavior of ARB products. Finally, the scanning electron microscope (SEM) was used to study the microstructure of layers in composites samples.

**Key Words** Accumulative roll bonding, Magnetic and mechanical properties, Layered structures.

\* نسخه‌ی نخست مقاله در تاریخ ۹۱/۹/۱۱ و نسخه‌ی پایانی آن در تاریخ ۹۲/۱۲/۴ به دفتر نشریه رسیده است.

(۱) نویسنده‌ی مسئول، مربی، گروه ساخت و تولید، دانشگاه آزاد اسلامی، واحد مشهد

(۲) استاد، گروه مهندسی مواد، دانشگاه شیراز

(۳) استاد، گروه مهندسی مکانیک، دانشگاه آزاد اسلامی، واحد مرودشت

صورت گرفته در این ارتباط، از یک فلز یا آلیاژ برای فرایند ARB استفاده شده است و تولید ماده‌ی مرکب لایه‌ای در حضور ماده‌ی سرامیکی سوم، کم‌تر مورد توجه قرار گرفته است [2]. به عنوان مثال، می‌توان به مواد مرکب زمینه آلومینیمی تقویت شده با ذرات سرامیکی مانند  $\text{Al}_2\text{O}_3$  و  $\text{B}_4\text{C}$  و  $\text{SiC}$  اشاره نمود که به دلیل خواص مکانیکی و فیزیکی مناسب، به طور گستردۀ‌ای در صنایع مختلف مانند صنایع نظامی، خودروسازی، هواپیما و انرژی هسته‌ای استفاده می‌شوند. این مواد مرکب به دلیل داشتن خواص بی‌نظیری مانند استحکام بالا، چگالی پایین، مقاومت به خوردگی خوب، قابلیت عملیات حرارتی خوب و فرایندهای تولید متعدد، توجهی زیادی را به خود جلب کرده‌اند، به طوری که امروزه به عنوان یک ماده‌ی سازه‌ای پیشرفته، مورد استفاده قرار می‌گیرند.

اخیراً، تلاش‌های زیادی برای بهبود خصوصیات مغناطیسی مواد صورت گرفته است. برای بهبود و پیشرفت در این حوزه، به ترکیبی جدید با اشاع مغناطیسی بالاتر نیاز است. مس فلزی است با رسانایی الکتریکی و حرارتی بالا و جزو فلزات دیامغناطیسی به حساب می‌آید [5]. به منظور بهبود خواص مغناطیسی، می‌توان از فلزات فرومغناطیس مانند نیکل، در کنار مس سود جست. نیکل فلزی سخت، انعطاف‌پذیر، رسانای جریان برق و مقاوم به خوردگی است. این عنصر جزو فلزات فرومغناطیس است و افزون بر این، دارای خواص مغناطیسی خوبی می‌باشد. نیکل مانند فلزات دیگر، برای بهبود خواص مکانیکی به ویژه استحکام، می‌تواند ریز دانه شون، اما با توجه به این که خواص مغناطیسی با ریز دانه شدن رابطه‌ی عکس دارد، به نظر می‌رسد که اگر چه در حالت نانوساختار خواص مکانیکی آن بهبود می‌یابد، ولی خواص مغناطیسی آن افت پیدا می‌کند [6].

هدف اصلی از انجام این تحقیق، حذف تأثیر منفی کار مومسان شدید بر خواص مغناطیسی نیکل با افزودن نانوذرات اکسید آهن ( $\text{Fe}_3\text{O}_4$ ) می‌باشد. اکسید آهن (مگنتیت) به عنوان ماده‌ای فری مغناطیس شناخته

## مقدمه

پیشرفت‌های اخیر در صنایع نظامی، برق و الکترونیک، خودروسازی، قطارهای برقی، ابزارهای مغناطیسی در صنایع پزشکی و ایجاد میدان‌های مغناطیسی بسیار قوی، مستلزم استفاده از موادی با رسانایی بالا، خواص مغناطیسی خوب و قیمت مناسب می‌باشد. اصولاً به اثبات رسیده است که فلزات و مواد فوق ریزدانه با اندازه دانه‌ی کم‌تر از ۱ میکرون، خواص فیزیکی و مکانیکی مناسبی را نسبت به مواد با اندازه دانه‌ی معمولی دارند. به همین منظور، تحقیقات زیادی درباره‌ی مواد مرکب و آلیاژهای مس با نایوبیم، نیکل، آهن، کرم و نقره انجام شده است.

ریز کردن دانه یکی از روش‌های مهم استحکام‌بخشی مواد است که نسبت به سایر روش‌های استحکام‌بخشی، از اهمیت ویژه‌ای برخوردار است. با این روش می‌توان همزمان به ترکیب مناسبی از استحکام و انعطاف‌پذیری دست یافت. این در حالی است که در روش‌های دیگر، افزایش استحکام با کاهش چشم‌گیر انعطاف‌پذیری همراه است. یکی از روش‌هایی که ریز کردن دانه را به همراه دارد، تغییر شکل مومسان شدید (Severe Plastic Deformation) می‌باشد. در حقیقت، این روش بر پایه‌ی ایجاد کرنش‌های مومسان بسیار زیاد در ماده استوار است و به این دلیل، به روش‌های تغییر شکل شدید معروف است. تغییر شکل‌های شدید مومسان ناشی از انواع فرایندهای مکانیکی، می‌تواند سبب ایجاد ساختار نانو و در مواردی، تغییر ترکیب شیمیایی ماده شود [3-1]. نورد تجمیعی اتصالی (ARB)، یکی از روش‌های (ARB)، یکی از روش‌های مهمن تغییر شکل شدید است. در این فرایند، تغییر شکل مومسان زیادی با چند مرحله نورد متوالی به نمونه اعمال می‌شود. مزیت این روش، توانایی آن در تولید ورق با ساختار نانو در مقیاس صنعتی مانند صنایع نظامی، می‌باشد. به همین دلیل، اخیراً از این روش برای تولید مواد مرکب چند لایه استفاده شده است [4]. در سال‌های اخیر، مواد مرکب فلزی چند لایه به علت خواص مکانیکی و فیزیکی برجسته، مورد توجه زیادی واقع شده‌اند [5]. در اکثر تحقیقات

در جدول (۲) آورده شده‌اند.

**تولید ماده‌ی مرکب لایه‌ای مس- نیکل- اکسید آهن.** برای انجام فرایند، ابتدا ورق‌های مس و نیکل به‌ابعاد مشخص بریده شدند و از دو نوار مس و نیکل به ضخامت ۱ میلی‌متر و طول و عرض به‌ترتیب ۱۲ و ۴ سانتی‌متر، برای شروع فرایند استفاده شد. در ابتدا برای از بین بردن چربی‌ها و دیگر آلودگی‌های سطحی، نوارها به‌مدت زمان ۵ دقیقه در آستون غوطه‌ور شدند. سپس برای ایجاد یک پیوند مناسب، برس کاری سطوح ورق‌ها توسط برس خورشیدی انجام شد. روند انجام فرایند نورد تجمعی برای مواد مرکب مس- نیکل- اکسید آهن، در شکل (۱) نشان داده شده است.

می‌شود که در دمای اتاق، رفتاری آبرپارامغناطیسی از خود نشان می‌دهد و دارای نفوذپذیری بالاتری نسبت به فرومغناطیس‌ها می‌باشد [7]. با قرار دادن اکسید آهن در بین لایه‌ها، مواد مرکب لایه‌ای با ساختار ریز دانه و خواص مغناطیسی خوب ایجاد خواهد شد و در نهایت، خواص مکانیکی و مغناطیسی ماده‌ی مرکب لایه‌ای  $\text{Ni}/\text{Cu}/\text{Fe}_3\text{O}_4$  حاصل از فرایند نورد تجمیعی مطالعه خواهند شد.

### روش تحقیق

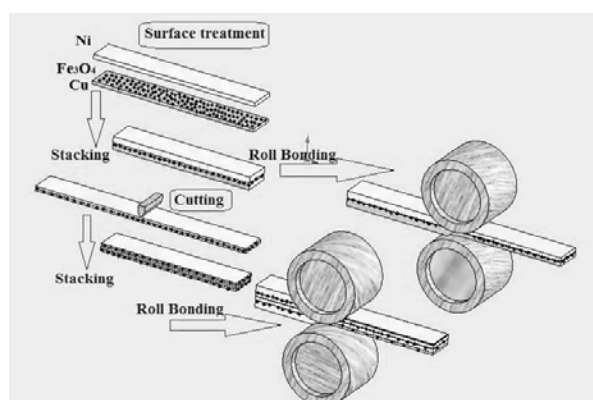
**مواد اولیه.** مواد مورد استفاده در این پژوهش، نوارهای مس و نیکل خالص تجاری و پودر اکسید آهن (مگنتیت) با اندازه دانه‌ی میانگین ۲۰۰ نانومتر بوده‌اند. ترکیب و ابعاد آن‌ها، در جدول (۱) و ویژگی‌های آن‌ها،

جدول ۱ مشخصات ورق‌های اولیه‌ی مورد استفاده

جنس ورق	ترکیب شیمیایی (درصد وزنی)	ابعاد ورق
نیکل خالص تجاری	99Ni, 0.2Cu, 0.4Fe, 0.35Mn, 0.015Si, 0.02S, 0.015C	۱۲۰×۴۰×۱ mm
مس خالص تجاری	4Cu, 0.68Zn, 0.18Fe, 0.52Pb, .98 0.48Co, 0.019Sn, 0.012Cd, 0.009Cr	۱۲۰×۴۰×۱ mm

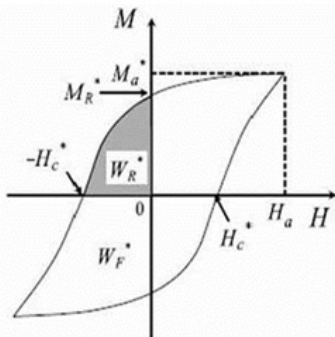
جدول ۲ خواص مکانیکی مس و نیکل به‌کار رفته در این تحقیق

فلز	ازدیاد طول (%)	سختی (HV)	استحکام تسلیم (MPa)
نیکل	9.8	81	203.7
مس	32.8	62	87.5



شکل ۱ فرایند نورد تجمعی برای تهیه‌ی ماده‌ی مرکب مس- نیکل- اکسید آهن

در پایان، اندازه‌گیری و تحلیل خواص مغناطیسی شامل اشباع مغناطیسی ( $M_S$ )، پس‌ماند مغناطیسی ( $M_R$ ) و نیروی وادارندگی مغناطیسی ( $H_C$ )، با استفاده از روش مغناطیسی سنج با نمونه‌ی ارتعاشی VSM، انجام شد. در شکل (۲)، عوامل مؤثر بر حلقه‌ی هیسترزیس نمایش داده شده است.



شکل ۲ عوامل مؤثر بر حلقه‌ی هیسترزیس

### نتایج و بحث

تغییرات ریزساختار ماده‌ی مرکب لایه‌ای  $Cu/Ni/Fe_3O_4$  در فرایند نورد تجمعی، تغییرات ریزساختاری ورق‌های ماده‌ی مرکب  $Cu/Ni/Fe_3O_4$  در طول فرایند نورد تجمعی در دورهای مختلف، توسط میکروسکوپ‌های نوری و الکترونی رویشی بررسی شدند. با توجه به تصویرهای تهیه شده با استفاده از میکروسکوپ نوری در شکل (۳)، می‌توان پیوستگی لایه‌ها، کاهش ضخامت و نحوه توزیع ذرات  $Fe_3O_4$  در ماده‌ی مرکب  $Cu/Ni/Fe_3O_4$  را تا گذر پنجم مشاهده کرد. شکل (۳)، تصویر میکروسکوپ نوری از مقطع کناری RD-ND مربوط به ورق ماده‌ی مرکب را نشان می‌دهد که در مرحله‌ی افزودن پودر  $Fe_3O_4$ . اعمال کاهش سطح مقطع بیش از ۶۰ درصد و پس از آن، نورد تجمعی به میزان ۵۰ درصد کاهش سطح مقطع، سبب ایجاد جوش و اتصال مناسب بین لایه‌ها شده است. ورق‌ها فرایند نورد تجمعی را بدون عیب تا دور پنچم پشت سر گذاشتند، اما افزایش چگالی نابجایی و کاهش اندازه‌ی دانه، سبب افزایش کرنش سختی ماده و در نتیجه، تردی آن شده است که این امر موجب

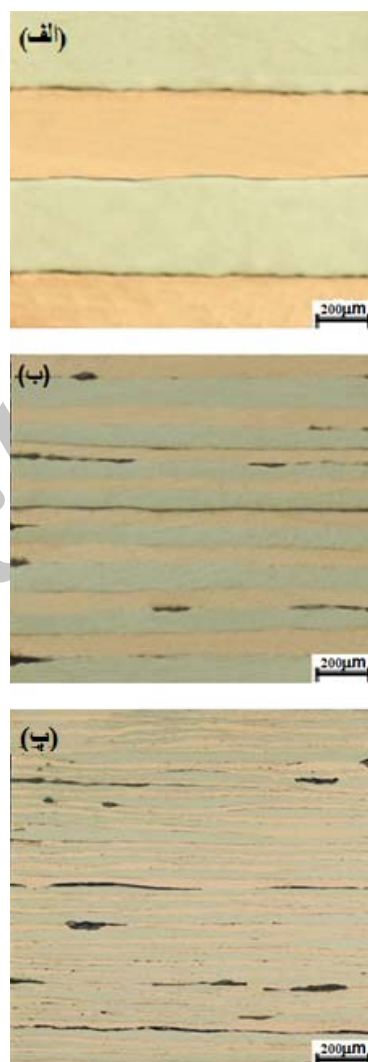
قطر سیم‌های برس ۴/۰ میلی‌متر و از جنس آهن بود. استفاده از سمباده‌ی سیمی، بالاترین زبری سطح را ایجاد می‌کند و سبب ایجاد قوی‌ترین اتصال لایه‌ای بین ورق‌ها می‌شود. پس از آماده‌سازی سطوح، بین دو نوار مس و نیکل با ابعاد یکسان، یک لایه از ذرات پودر  $Fe_3O_4$  (۱٪ وزنی) با استفاده از آلک به‌گونه‌ای یکنواخت پراکنده شد. فرایند افزودن ذرات  $Fe_3O_4$  تنها در گذر اول نورد و برای تولید ساندویچ اولیه صورت گرفت.

به‌این ترتیب، دو سطح برس کاری شده بر روی هم قرار گرفتند و چهارگوشی آن توسط سیم‌های مسی مقید شد تا حین نورد بر روی هم نلغزند. ضخامت ساندویچ اولیه ۲/۲ میلی‌متر بود که پس از گذر صفر، به ۱ میلی‌متر کاهش یافت (یعنی ۶۰٪ کاهش ضخامت). دستگاه نورد مورد استفاده دارای غلطک‌هایی به قطر ۱۸۰ میلی‌متر بود و سرعت آن به میزان ۴۰ دور بر دقیقه تنظیم شد. نمونه پس از گذر صفر، از وسط به دو نیم شد و پس از آماده‌سازی مجدد و مهار چهارگوشی آن و پیش گرمایش در دمای ۵۰°C به مدت زمان ۵ دقیقه، مجدداً به میزان ۵۰ درصد کاهش ضخامت، نورد شد. این فرایند تا پنج دور بدون استفاده از روان‌کار انجام گرفت. پس از هر مرحله‌ی نورد، نمونه‌هایی برای انجام آزمون‌های مختلف تهیه شدند. سطح مقطع کناری ورق‌های جوش خورده، پس از سنباده‌زنی و پولیش کاری با پارچه و خمیر الماسه، با میکروسکوپ نوری مشاهده شد تا نحوه جوش خورده‌گی ورق‌ها بررسی شود. افزودن بر این، صفحه‌های حاوی جهت نورد، توسط میکروسکوپ الکترونی رویشی (SEM) مطالعه شدند و در نهایت، برای مطالعه‌ی خواص مکانیکی (استحکام کششی، ازدیاد طول و نمودارهای تنش-کرنش)، آزمون کشش با استفاده از دستگاه Zwick 250 انجام شد. در ادامه، برای اندازه‌گیری سختی نمونه‌ها، از دستگاه سختی سنج ویکرز مدل Bohler با نیروی ۲۵ گرم و زمان اعمال نیروی ۱۰ ثانیه استفاده شد.

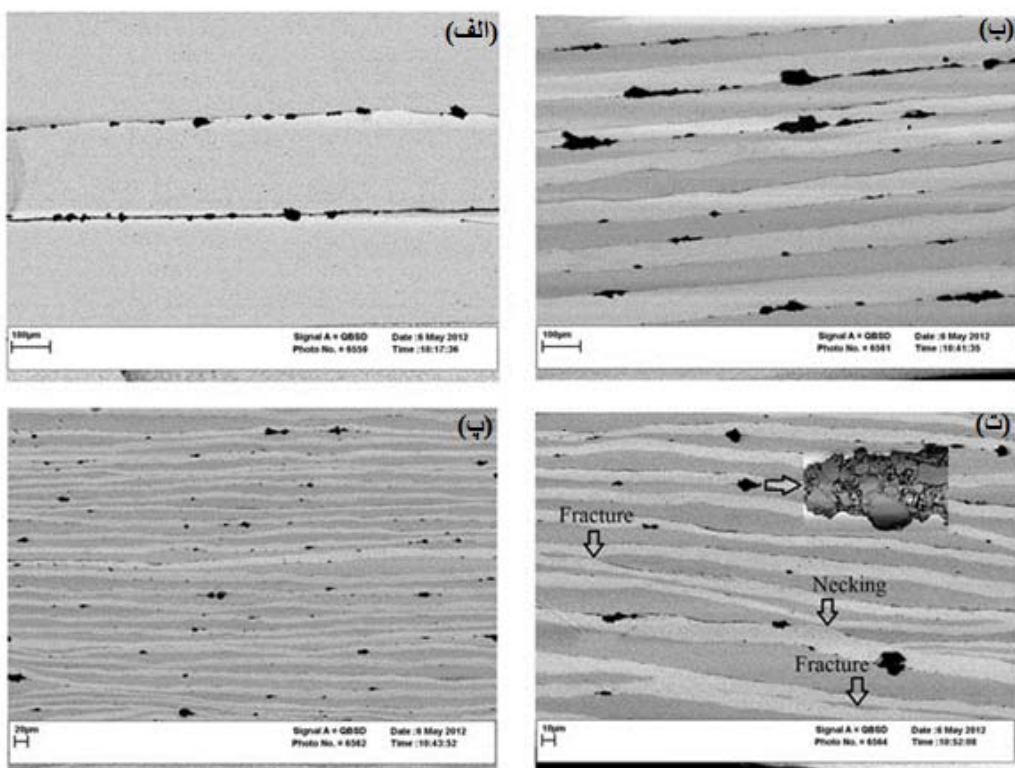
ذرات  $\text{Fe}_3\text{O}_4$  سبب تسریع گلوبی شدن و شکست در لایه‌های نیکل شده است، به طوری که در گذر پنجم شاهد شکست لایه‌های نیکل می‌باشیم، در صورتی که در ماده‌ی مرکب  $\text{Cu}/\text{Ni}$  که فاقد ذرات  $\text{Fe}_3\text{O}_4$  است، شکست در گذر هفتم رخ داده است. با اعمال کرنش بیشتر به ماده‌ی مرکب و در صورت امکان، ادامه‌ی فرایند تا دروهای بالاتر، گلوبی شدن و جدایش و ریزتر شدن لایه‌های تقویت کننده افزایش یافته است و توزیع یکنواختی از لایه‌های نیکل و ذرات  $\text{Fe}_3\text{O}_4$  در زمینه‌ی مس حاصل شده است.

پارگی ورق‌ها پس از دور پنجم نورد تجمعی شد. در شکل (۴)، تغییرات ریزاختار ماده‌ی مرکب مس-نیکل-اکسید آهن در طی دورهای مختلف فرایند نورد تجمعی که توسط میکروسکوپ الکترونی روبشی تهییه شده است، نشان داده شده است.

همان‌طور که در شکل (۴) مشاهده می‌شود، با ادامه‌ی فرایند و پس از دور سوم، پیوستگی لایه‌های نیکل تحت تأثیر کرنش اعمالی در فرایند قرار گرفته و با افزایش تعداد دورهای اعمالی، گلوبی شدن شدت یافته است و به دنبال آن، جدایش و شکست در لایه‌های نیکل اتفاق افتاده است. افزون بر این، حضور



شکل ۳ تصویرهای میکروسکوپ نوری از مراحل اول (الف)، سوم (ب) و پنجم (پ) مربوط به ماده‌ی مرکب  $\text{Cu}/\text{Ni}/\text{Fe}_3\text{O}_4$



شکل ۴ تصویرهای میکروسکپ الکترونی روبشی از مراحل اول (الف)، سوم (ب) و پنجم (پ) مریبوط به ماده‌ی مرکب  $\text{Cu}/\text{Ni}/\text{Fe}_3\text{O}_4$

همان‌طور که در بخش قبلی نیز بیان شد، می‌توان شکست ناهمگن لایه‌های نیکل به صورت قطعه‌های کوچک درون مس را به تفاوت در خواص مکانیکی لایه‌های مس و نیکل نسبت داد. این تفاوت ناشی از تفاوت در تنش سیلان فازها، اصطکاک میان زمینه‌ی مس و لایه‌های نیکل و اصطکاک مابین غلطک و سطح نمونه می‌باشد [۸-۱۰]. این اثر با افزایش تعداد دوره‌ای فرایند نورد تجمعی تضعیف می‌شود (شکل ۴). همان‌گونه که در شکل (۴) مشاهده می‌شود، با پیشرفت فرایند نورد تجمعی تعداد لایه‌ها به گونه‌ای مداوم افزایش یافته است که این سبب افزایش همگنی و توزیع یکنواخت ذرات  $\text{Fe}_3\text{O}_4$  در جهت عمودی ورق شده است. با این حال، ذرات در بین لایه‌ها باقی‌مانده‌اند و در برخی از مناطق به صورت خوش‌های پخش شده‌اند. به دلیل انسجام و سختی بالای لایه‌های مس و نیکل در طی فرایند نورد تجمعی، ذرات نتوانسته‌اند در لایه‌ها به صورت همگن و مناسب نفوذ

با افزایش تعداد دوره‌ای فرایند نورد، ذرات  $\text{Fe}_3\text{O}_4$  در زمینه‌ی مس و نیکل پراکنده شده‌اند. افزون بر این، مشاهده می‌شود که لایه‌های نیکل در گذرهای اولیه‌ی تولید ساندویچ، یکپارچگی خود را حفظ کرده‌اند (شکل ۴-الف). پس از آن، گلوبی شدن و شکست موضعی به صورت تدریجی و پیوسته در دوره‌ای متوالی اتفاق افتاده‌اند و در نهایت، شاهد جدایی لایه‌های نیکل می‌باشیم (شکل ۴-پ و ت). پس از انجام پنج دور فرایند نورد تجمعی، ماده‌ی مرکبی با قطعه‌های نیکل شکسته شده و توزیع همگنی از ذرات  $\text{Fe}_3\text{O}_4$  در زمینه‌ی مس به دست آمده است (شکل ۴-ت).

زمینه‌ی مس به عنوان واسطه و انتقال‌دهنده‌ی نیرو به نوار نیکل و ذرات  $\text{Fe}_3\text{O}_4$  عمل می‌کند و تمام فضای میان لایه‌های نیکل و ذرات پودر را پر می‌کند. مطابق با تصویرهای شکل (۴)، با افزایش تعداد دوره‌ای فرایند نورد تجمعی و با افزایش کرنش، ضخامت لایه‌های نیکل کاهش یافته‌اند.

بهینه در یک ماده‌ی مرکب، به‌ویژه بهترین ترکیب استحکام و انعطاف‌پذیری، ذرات تقویت کننده‌ی ریز با کسر جمی بالا مورد نیاز است. اما، داشتن این دو ویژگی به‌طور همزمان با مشکلاتی همراه است، زیرا در مواد مرکب با ذرات ریز، تمایل به توزیع نایکنواخت ذرات و ایجاد خوش‌های ذرات پودر زیاد است و این باعث افت شدید انعطاف‌پذیری ماده می‌شود، به‌گونه‌ای که آسیب‌ها در محل خوش‌های ذرات به‌شکل مرکز شروع به تشکیل می‌کنند. توزیع تنش در یک ماده‌ی مرکب در معرض نیروی خارجی، نایکنواخت است [11]. در نزدیکی یک خوش، تنش‌های سه بعدی قابل توجهی که بسیار بزرگ‌تر از تنش اعمالی هستند، ایجاد می‌شوند که منجر به شتاب‌گیری شروع شکست در خوش می‌شود [9-11].

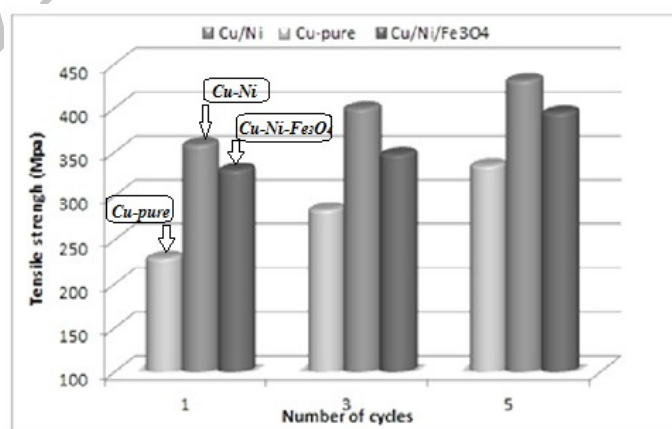
افزون بر این، با افزایش میزان خوش‌های شدن، در کاهش شدیدی در چقرومگی شکست مواد مرکب مشاهده می‌شود [12]. بنابراین، توزیع یکنواخت ذرات تقویت کننده در مواد مرکب یکی از ملزمات ساختاری مهم آن‌است.

استحکام کششی مواد مرکب مس-نیکل-اکسید آهن تولید شده به‌روش نورد تجمعی. شکل (۵)، تغییرات استحکام کششی مواد مرکب Cu/Ni، Cu و Cu/Ni/Fe<sub>3</sub>O<sub>4</sub> را طی دوره‌ای مختلف فرایند نورد تجمعی را نشان می‌دهد.

کنند و در نهایت، حضور ذرات با کاهش سطح تماس فلز-فلز، بر کیفیت و استحکام جوش تأثیر منفی داشته است. افزون بر این، خوش‌های شدن ذرات، سبب ایجاد تمرکز تنش و تأثیر نامطلوب بر خواص مکانیکی می‌شود (شکل ۴ و ۵).

مطلوب دیگر که باید به آن توجه داشت، وجود یک تنش آستانه‌ی لازم برای برقراری پیوند بین لایه‌های فلزی است. اگر مقدار تنش به‌کار رفته از این تنش آستانه کم‌تر باشد، سطوح بکر فلز نمی‌توانند پیوندی قوی با هم برقرار کنند [13]. مقدار این تنش آستانه، با حضور ذرات افزایش می‌یابد. بر مبنای فرضیه‌ی سد انرژی، قبل از برقراری اتصال بین دو فلز، باید بر یک سد انرژی غلبه کرد. بالاتر از این مقدار، استحکام پیوند ایجاد شده به سرعت افزایش می‌یابد و به‌ازای مقادیری کم‌تر از آن، آلودگی‌های موجود در سطح، تماس دو فلز بکر را به‌تأخیر می‌اندازند و سبب کاهش استحکام پیوند ایجاد شده می‌شوند [9].

مسئله‌ی مهم در اینجا آن است که اولاً در حضور ذرات، تنش آستانه‌ی بیشتری برای غلبه بر لایه‌ی اکسیدی سطح نیاز است تا مقابله‌ی فلزات بکر زیر سطحی با هم وجود داشته باشد. دوام آن‌که، اگر چه ذرات به شکستن لایه‌ی اکسیدی در سطح کمک کرده‌اند، اما خود به عنوان مانع برای تماس سطوح بکر فلزات با یکدیگر و برقراری پیوند مطرح هستند. گفتنی است که به‌منظور دستیابی به ویژگی‌های



شکل ۵ مقایسه‌ی استحکام کششی مواد مرکب Cu/Ni/Fe<sub>3</sub>O<sub>4</sub>، Cu/Ni و Cu-pure

ناشی از اصطکاک بین غلطک و نمونه و اصطکاک بین خود لایه‌ها، سبب افزایش کرنش معادل و افزایش استحکام می‌شود [۱۳].

۳- از دیگر عوامل، می‌توان به تنش‌های باقی‌مانده از طریق تأثیر بر حرکت نابجایی‌ها و تعداد لایه‌ها و ضخامت آنها اشاره کرد که در افزایش استحکام مؤثرند [۱۱-۱۳]. اگر چه مس و نیکل هر دو ساختار FCC دارند، اما سختی، ضخامت و ضربه‌های کار سختی متفاوتی دارند. بنابراین، تغییر شکل توأم‌ان لایه‌های مس و نیکل موجب به وجود آمدن تنش‌های فشاری و کششی در لایه‌های مس و نیکل و در نتیجه، تنش‌های باقی‌مانده بین لایه‌ای می‌شود. تعداد لایه‌ها و ضخامت آنها نیز در استحکام چند لایه مؤثرند. ریز دانه شدن با توجه به رابطه‌ی هال- پچ، موجب افزایش استحکام می‌شود.

نرخ کرنش در مواد مرکب Cu/Ni و Cu/Ni/Fe<sub>3</sub>O<sub>4</sub> تولید شده با نورد تجمعی در دورهای مختلف، در شکل (۶) نشان داده شده است. از دیگر طول مس تولید شده با فرایند نورد تجمعی بسیار بالاتر از مواد مرکب Cu/Ni می‌باشد و به دلیل تفاوت زیاد آن‌ها، با مواد مرکب فوق‌الذکر قابل مقایسه نمی‌باشد. بنابراین، در شکل (۶) تنها تأثیر حضور ذرات Fe<sub>3</sub>O<sub>4</sub> در کاهش کرنش نسبت به ماده‌ی مرکب Cu/Ni بررسی شده است. به طور کلی، می‌توان مشاهده کرد که حضور ذرات تقویت کننده‌ی Fe<sub>3</sub>O<sub>4</sub> باعث افزایش تردی و به دنبال آن، کاهش نرخ کرنش شده است. افزون بر این، تمایل ذرات به خوش‌های شدن سبب ایجاد تمرکز تنش، شروع و انتشار ترک در آزمون کشش می‌شود و به علت ضخامت لایه‌ی تقویت کننده‌ی ذرات پودر Fe<sub>3</sub>O<sub>4</sub> و توزیع غیریکنواخت آن در برخی از نواحی، زمینه به شدت تحت تمرکز تنش قرار می‌گیرد و در نتیجه، به سرعت دچار تسلیم و شکست می‌شود، زیرا با حضور ذرات در بین لایه‌ها و

همان‌طور که در شکل (۵) دیده می‌شود، با افزایش تعداد دورهای فرایند نورد تجمعی شاهد افزایش استحکام کششی در هر سه نمونه می‌باشیم. افزایش چگالی نابجایی و کاهش اندازه‌ی دانه سبب افزایش کرنش سختی در ماده و در نتیجه، تردی آن می‌شود و این امر سبب پارگی ورق‌ها پس از دور پنجم نورد تجمعی شده است. افزون بر این، می‌توان به کرنش سختی به لیل افزایش چگالی نابجایی حاصل از تغییر شکل اشاره کرد که سبب افزایش استحکام می‌شود. این عامل در مراحل اولیه‌ی فرایند نورد تجمعی نقش مهمی را ایفا می‌کند، به گونه‌ای که با افزایش تعداد مراحل نورد و ایجاد ساختار ریز دانه و بهبود اندازه‌ی دانه، تأثیر آن کاهش می‌یابد [۱۱-۱۳].

در شکل (۵) و در مورد نمونه‌ی حاوی ذرات Fe<sub>3</sub>O<sub>4</sub>، مشاهده می‌کنیم که با افزایش دورهای فرایند نورد تجمعی، استحکام کششی ماده‌ی مرکب حاصل افزایش پیدا می‌کند و در نهایت، پس از ۵ دور فرایند نورد تجمعی، به مقدار ۳۸۵ MPa می‌رسد. عوامل مختلفی به شرح زیر در افزایش استحکام ماده‌ی مرکب تولید شده به روش نورد تجمعی تأثیر گذارند:

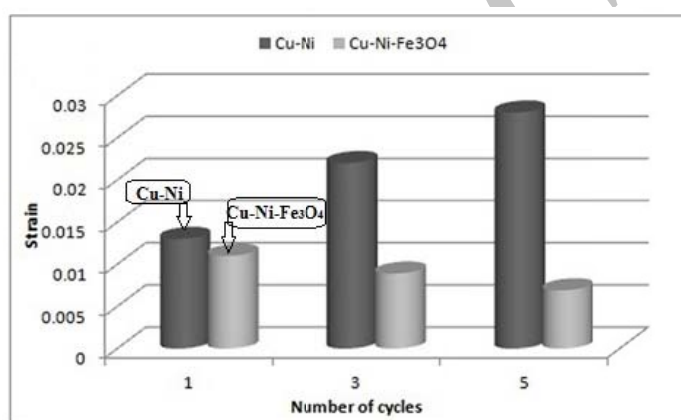
۱- در گام اول، می‌توان به کرنش سختی به دلیل افزایش چگالی نابجایی حاصل از تغییر شکل اشاره کرد که سبب افزایش استحکام می‌شود. این عامل در مراحل اولیه‌ی فرایند نورد تجمعی نقش مهمی دارد و با افزایش تعداد مراحل نورد و ایجاد ساختار ریز دانه و بهبود اندازه‌ی دانه، تأثیر آن به تدریج کم می‌شود [۱۱-۱۳].

۲- در ادامه‌ی فرایند نورد تجمعی، ریز دانه شدن در مراحل نهایی فرایند بسیار مؤثر است. در ساختار فوق ریز دانه، ایجاد مرزهای جدید با توجه به رابطه‌ی هال- پچ (فرضیه‌ی استحکام هال- پچ یا ارتباط  $\delta$  با  $d^{1/2}$ )، موجب استحکام بخشی می‌شود. افزون بر این، اثر کرنش بر شی ایجاد شده در طی فرایند نورد تجمعی

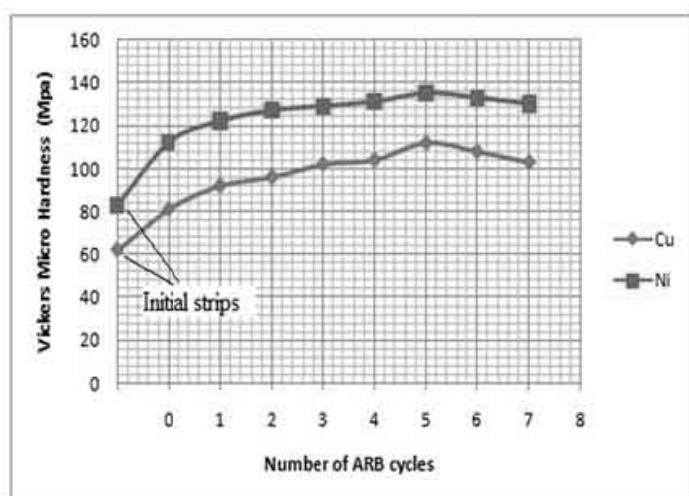
ریزسختی با افزایش تعداد گذرهای فرایند را نشان می‌دهد. همان‌طور که مشاهده می‌شود، با افزایش دروهای فرایند نورد تجمعی، ریزسختی هر دو زمینه‌ی مس و لایه‌های تقویت کننده‌ی نیکل افزایش می‌یابد. سختی دو نمونه، به ترتیب از مقادیر اولیه‌ی ۶۱ و ۸۲ به ۱۰۳ و ۱۳۰ مگاپاسکال برای لایه‌های مس و نیکل افزایش می‌یابد. مشاهده می‌شود که پس از نورد اتصالی اولیه‌ی مس- نیکل، افزایش قابل ملاحظه‌ای در سختی لایه‌های مس و نیکل رخ داده است و سپس، با پیشرفت فرایند نورد تجمعی، نرخ افزایش سختی در هر دو فلز به صورت نسبی کاهش یافته است.

کاهش تماس فلز با فلز، استحکام پیوند بین لایه‌ای کاهش می‌یابد. این نتیجه مشابه با یافته‌های لوید در خصوص نقش ذرات تقویت کننده بر میزان ازدیاد طول می‌باشد.[11].

**ریزسختی ماده‌ی مرکب مس- نیکل.** سختی لایه‌های مس و نیکل روی نمونه‌ها در دورهای مختلف فرایند، به وسیله‌ی دستگاه ریزسختی سنج اندازه‌گیری شد. همان‌طور که انتظار می‌رود، سختی نمونه‌ها با افزایش تعداد گذرهای فرایند افزایش می‌یابد و نرخ افزایش سختی در گذرهای اولیه بیش از گذرهای بعدی است، زیرا بخش عمده‌ی تجمع نابجایی‌ها و کار سختی در گذرهای اولیه رخ می‌دهد. شکل (۷)، افزایش



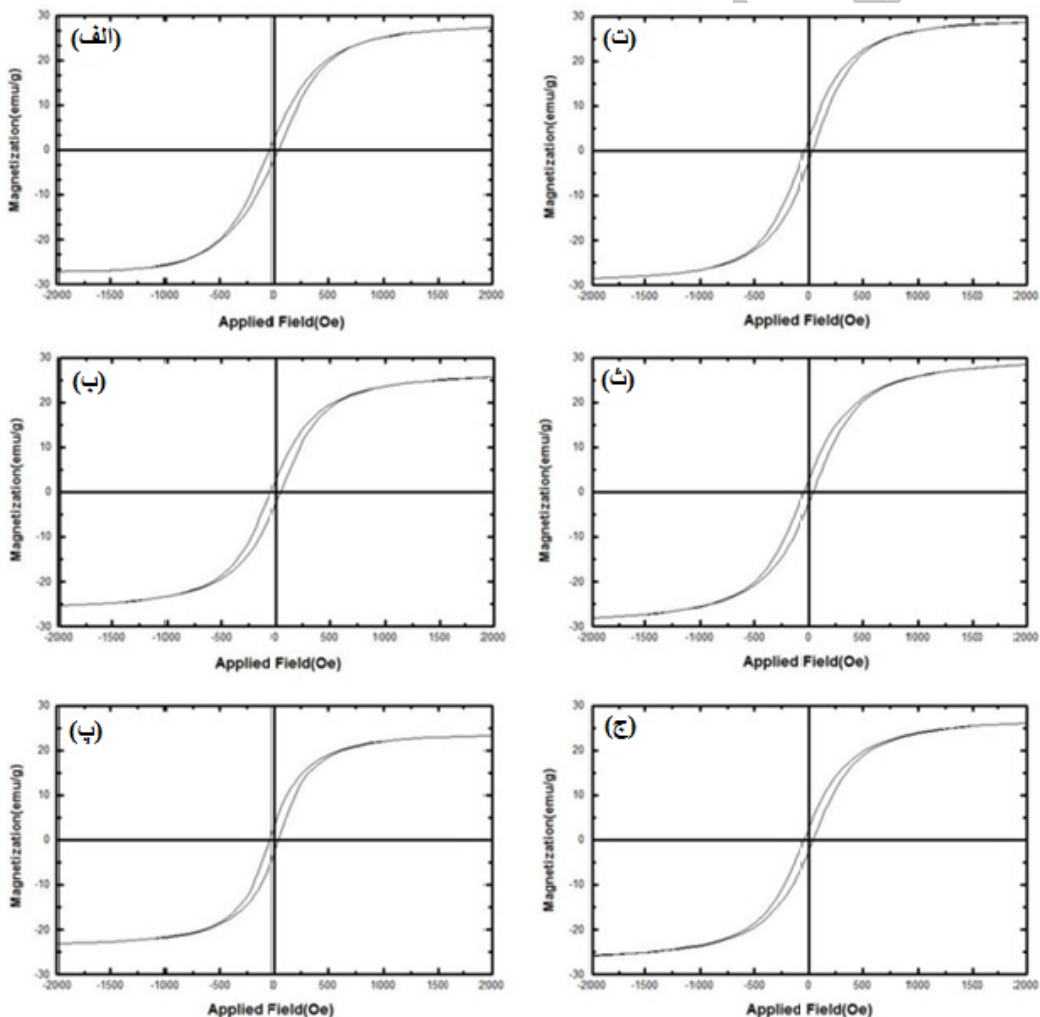
شکل ۶ مقایسه‌ی کرنش در مواد مرکب Cu/Ni/Fe<sub>3</sub>O<sub>4</sub> و Cu/Ni تولید شده به روش نورد تجمعی



شکل ۷ نتایج اندازه‌گیری ریزسختی مربوط به مقطع RD-ND از لایه‌های مس و نیکل طی دورهای مختلف فرایند نورد تجمعی

دلالت دارد. هر چه مقدار  $H_C$  کوچک‌تر باشد، ماده در میدان‌های پایین‌تر، مغناطش القا شده‌ی پسماند را از دست می‌دهد و از طرفی، به راحتی نیز به مغناطش اشباع می‌رسد. همان‌طور که در نمودارهای هیسترسیس شکل (۸) می‌توان مشاهده کرد، مقادیر نیروی وادارنگی مغناطیسی ( $H_C$ )، پسماند مغناطیسی (MR) و اشباع مغناطیسی ( $M_S$ ) تحت تأثیر لایه‌های نیکل و ذرات  $\text{Fe}_3\text{O}_4$ ، تغییرات چشمگیری داشته‌اند و هم‌چنین، می‌توان حضور مؤثرتر لایه‌های نیکل نسبت به ذرات  $\text{Fe}_3\text{O}_4$  را در ایجاد خواص مغناطیسی مشاهده کرد، به‌طوری که سبب ایجاد حلقه‌های مغناطیسی باریک و تولید یک ماده‌ی نرم مغناطیسی شده است.

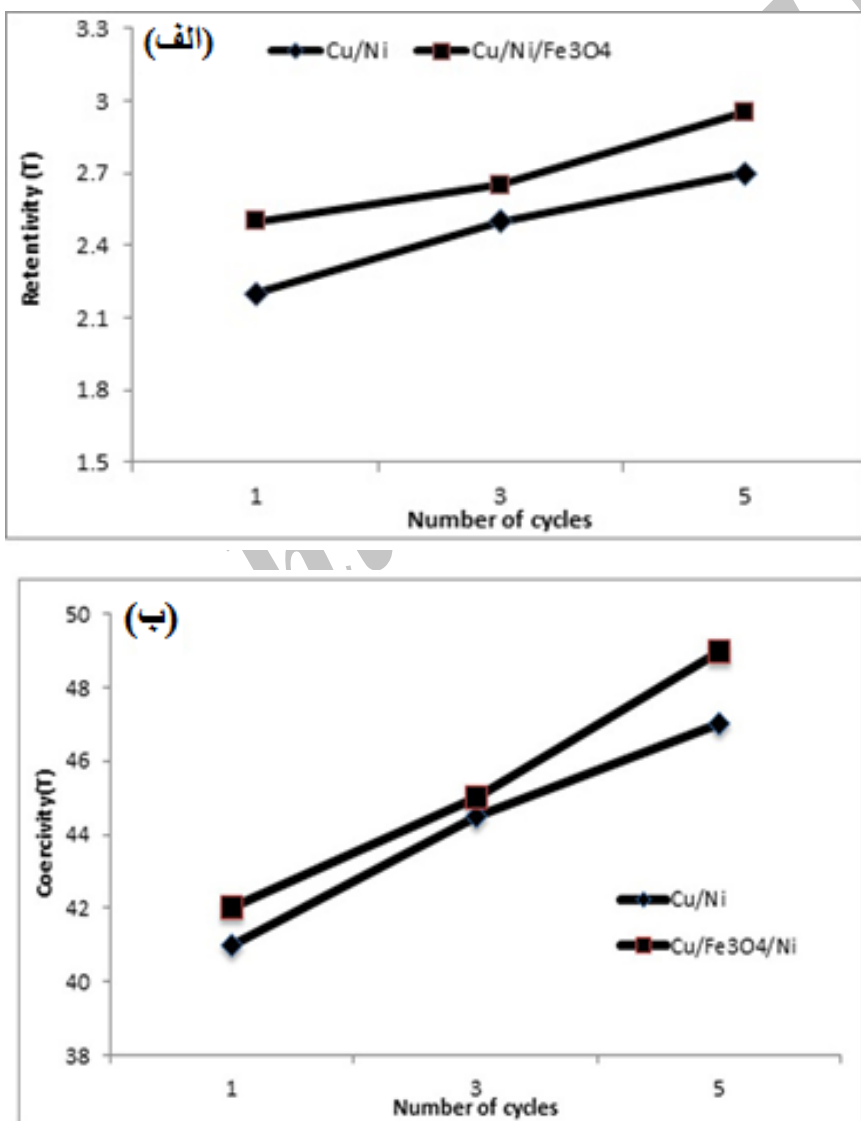
بررسی خواص مغناطیسی مواد مرکب مس- نیکل- اکسید آهن تولید شده به روش نورد تجمعی. رفتار مغناطیسی مواد عمدتاً به ساختار الکترونی آن‌ها بستگی دارد که می‌توانند دوقطبی‌های مغناطیسی را ارائه دهند. دوقطبی‌ها ذرات بنیادی مغناطیسی هستند و تأثیرات متقابل بین این دو قطبی‌ها، نوع رفتار مغناطیسی را مشخص می‌کنند. نمودار هیسترسیس مربوط به ماده‌ی مرکب لایه‌ای مس- نیکل- اکسید آهن در طی دورهای مختلف فرایند نورد تجمعی، در شکل (۸) نشان داده شده است. نمودار فوق نشان‌گر ایجاد یک ماده‌ی مغناطیس نرم می‌باشد. مقدار  $H_C$  (نیروی وادارنگی مغناطیسی)، بر نرم یا سخت بودن ماده‌ی فرومغناطیس



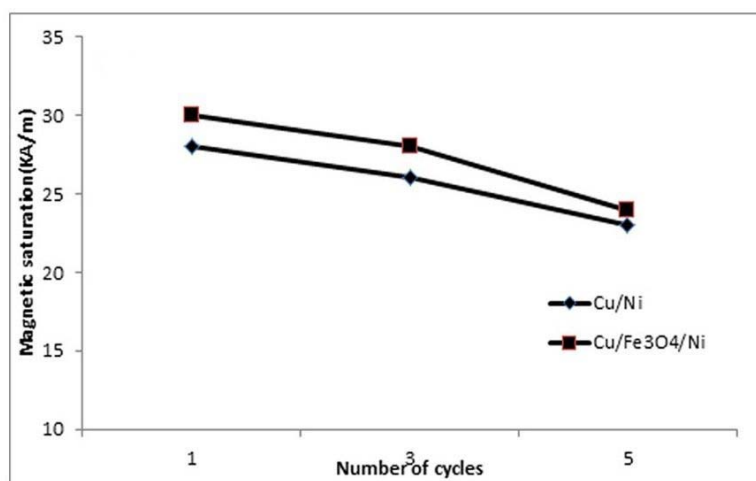
شکل ۸ نمودارهای هیسترسیس مربوط به مراحل مختلف فرایند نورد تجمعی؛ (الف) گذر اول، (ب) گذر سوم، (پ) گذر پنجم برای ماده‌ی  $\text{Cu}/\text{Ni}/\text{Fe}_3\text{O}_4$  و (ت) گذر اول، (ث) گذر سوم، (ج) گذر پنجم برای ماده‌ی مرکب

پنجم رسیده است. همان‌طور که در شکل (۹) نشان داده شده است، استفاده از ذرات  $\text{Fe}_3\text{O}_4$  در ماده‌ی مرکب  $\text{Cu}/\text{Ni}$  سبب بهبود و افزایش مقادیر پس‌ماند مغناطیسی و نیروی وادارنگی مغناطیسی شده است. البته با توجه به ماهیت مغناطیسی سخت ذرات  $\text{Fe}_3\text{O}_4$  تأثیر افزایشی بر روی مقادیر پس‌ماند مغناطیسی چشم گیرتر است.

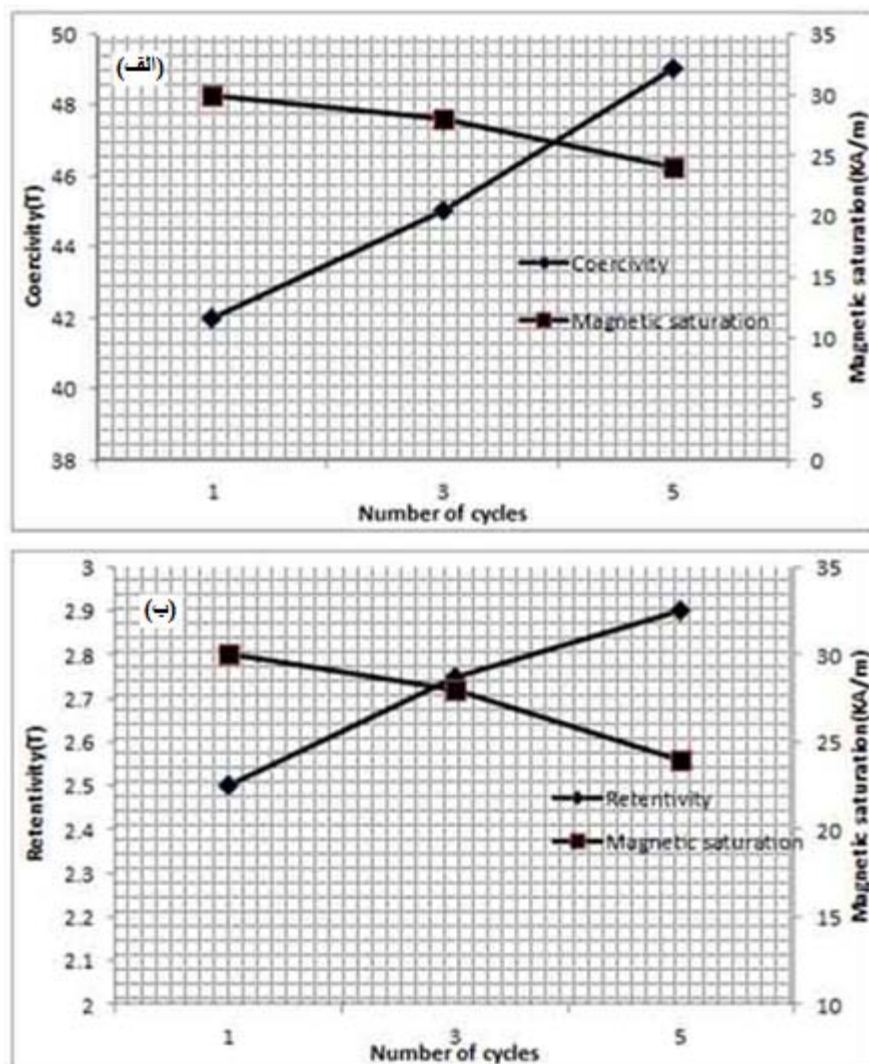
با توجه به نتایج شکل (۹)، پس‌ماند مغناطیسی ( $M_R$ ) و مقدار نیروی وادارنگی مغناطیسی ( $H_C$ ) برای هر دو ماده‌ی مرکب، با افزایش تعداد دوره‌های فرایند نورد تجمعی همراه با بهبود اندازه‌ی دانه، افزایش یافته‌اند. به عبارت دیگر، بیشترین مقدار نیروی وادارنگی مغناطیسی (۴۹ Oe) در گذر پنجم فرایند نورد تجمعی به دست آمده است. افرون بر این، پس‌ماند مغناطیسی از مقدار اولیه‌ی ۲.۵ T در گذر اول، به ۲.۹ T در گذر



شکل ۹ مقایسه‌ی خواص مغناطیسی ماده‌ی مرکب مس-نیکل و ماده‌ی مرکب مس-نیکل-اکسید آهن در طی دوره‌های مختلف فرایند نورد تجمعی، (الف) نمودار پس‌ماند مغناطیسی و (ب) نمودار نیروی وادارنگی مغناطیسی



شکل ۱۰ مقایسه اشباع مغناطیسی ماده‌ی مرکب Cu/Ni و ماده‌ی مرکب Cu/Fe<sub>3</sub>O<sub>4</sub> در طی دوره‌ای مختلف فرایند نورد تجمعی



شکل ۱۱ مقایسه خواص مغناطیسی ماده‌ی مرکب مس-نیکل در طی دوره‌ای مختلف فرایند نورد تجمعی، (الف) نمودار پس‌ماند مغناطیسی- اشباع مغناطیسی و (ب) نمودار نیروی وادارنگی مغناطیسی- اشباع مغناطیسی

۱- با افزایش تعداد دورهای فرایند نورد تجمیعی، توزیع یکنواخت‌تری از ذرات  $\text{Fe}_3\text{O}_4$  در بین لایه‌های مس و نیکل به دست آمد. افزون بر این، با افزایش تعداد مراحل نورد تجمیعی، لایه‌های تقویت کننده‌ی نیکل شروع به گلویی شدن و شکست کردند، به طوری که در گذر پنجم، توزیع نسبتاً یکنواختی از ذرات  $\text{Fe}_3\text{O}_4$  و لایه‌های تقویت کننده‌ی نیکل در زمینه‌ی مس حاصل شد.

۲- با افزایش تعداد دورهای فرایند نورد تجمیعی، استحکام و تردی ماده‌ی مرکب  $\text{Cu}/\text{Ni}/\text{Fe}_3\text{O}_4$  افزایش یافت، اما به دلیل حضور ذرات  $\text{Fe}_3\text{O}_4$  اتمایل به خوشبای شدن ذرات، استحکام کششی پایین‌تری نسبت به ماده‌ی مرکب  $\text{Cu}/\text{Ni}$  به دست آمد.

۳- با افزایش تعداد دروهای فرایند نورد تجمیعی، ریزساختی زمینه‌ی مس و لایه‌های تقویت کننده‌ی نیکل افزایش یافتند.

۴- مشاهده شد که مقادیر نیروی وادارنگی مغناطیسی ( $H_C$ )، پس‌ماند مغناطیسی ( $M_R$ ) و اشباع مغناطیسی ( $M_S$ ) تحت تأثیر لایه‌های نیکل و ذرات  $\text{Fe}_3\text{O}_4$  تغییرات مطلوب و چشم‌گیری داشته‌اند. حضور مؤثرتر لایه‌های نیکل نسبت به ذرات  $\text{Fe}_3\text{O}_4$  در بهبود خواص مغناطیسی قابل مشاهده بود، به طوری که سبب ایجاد حلقه‌های مغناطیسی باریک و تولید یک ماده‌ی نرم مغناطیسی شد. افزون بر این، مقادیر پس‌ماند مغناطیسی ( $M_R$ ) و نیروی وادارنگی مغناطیسی ( $H_C$ ) با افزایش تعداد دورهای فرایند نورد تجمیعی، همراه با بهبود اندازه‌ی دانه، افزایش یافتند.

اما به طور کلی می‌توان فرایند نورد تجمیعی را در بهبود و افزایش مقادیر پس‌ماند مغناطیسی و وادارنگی مغناطیسی کارآمد دانست. همان‌طور که در شکل (۱۰) مشاهده می‌شود، با افزایش تعداد دورهای فرایند نورد تجمیعی، اشباع مغناطیسی ( $M_S$ ) در هر دو ماده‌ی مرکب کاهش یافته است. از دیگر تأثیرات ایجاد شده ناشی از حضور ذرات  $\text{Fe}_3\text{O}_4$  در ماده‌ی مرکب  $\text{Cu}/\text{Ni}$ ، افزایش مقدار اشباع مغناطیسی می‌باشد و این تفاوت، در گذرهای اولینی فرایند متمایزتر است.

اما به طور قطع می‌توان گفت که با افزایش تعداد دورهای نورد تجمیعی و به دلیل قرارگیری قطب‌ها در جهت خلاف میدان در کلیه‌ی نمونه‌ها ناشی از عواملی همچون افزایش نابجایی‌ها و مرز دانه‌ها، مقادیر اشباع مغناطیسی کاهش می‌یابد. نمودارهای شکل (۱۱) با عبور و انطباق منحنی‌های پس‌ماند مغناطیسی و وادارنگی مغناطیسی با منحنی اشباع مغناطیسی، تعداد دورهای مناسب فرایند نورد تجمیعی برای داشتن مقدار بهینه و مناسب از هر دو عامل را نشان می‌دهد. همان‌طور که در این دو نمودار مشاهده می‌شود، پس از گذر سوم فرایند، منحنی‌ها با هم تلاقی دارند که این نشان‌گر مقادیر بهینه‌ای از سه عامل پس‌ماند مغناطیسی، وادارنگی مغناطیسی و اشباع مغناطیسی است.

### نتیجه‌گیری

در تحقیق حاضر، از فرایند نورد تجمیعی به طور موفقیت‌آمیزی در تولید ماده‌ی مرکب لایه‌ای استفاده شد. تا دور پنجم نورد تجمیعی، نمونه‌هایی با شکل پذیری مناسب و قطعاتی بدون عیب درشت به دست آمد. افزون بر این، نتایج زیر به دست آمدند:

### مراجع

1. S. C. Tjong, and H. Chen, "Nanocrystalline materials and coatings", Materials Science and Engineering, Vol. 45, pp. 1-88, (2004).
2. B.A. Movchan, FD. Lemkey," Mechanical properties of fine-crystalline two-phasesmaterials", Materials

- Science and Engineering A, Vol 224, 136–45, (1997).
3. Y. S. Kim, S. H. Kang, and D. H. Shin," Effect of rolling direction on the microstructure and mechanical properties of accumulative roll bonding (ARB) processed commercially pure 1050 aluminum alloy", Materials Science Forum, Vols. 503-504, pp.681-686, (2006).
  4. M. Perez-Prado, T. Del Valle and O. A. Ruano,"Grain refinement of Mg-Al-Zn alloys via accumulative roll bonding", Scripta Materialia, Vol. 51, pp.1093-1097, (2004).
  5. J. Mc. Keown, A. Misra, H. Kung, RG. Hoagland, M. Nastasi." Microstructures and strength of Nano scale Cu–Ag multi-layers", Scripta Mater, Vol 46, 593–598, (2002).
  6. R. Grössinger, R. Sato, D. Holzer, M. Dahlgren," Properties, Benefits, and Application of Nanocrystalline Structures in Magnetic", Materials, Physical B, Vol 44, pp.248- 275, (2000).
  7. Mc. Michael RD, RD. Shull, LJ. Swartzendruber, LH. Bennett, RE. Watson," Magnetocaloric effect in superparamagnets", J Magn Mate,Vol 111, pp.29-33. (1992)
  8. Y. Estrin, RJ. Hellmig, SC. Baik, HS. Kim, HG. Brokmeier,"Microstructure and texture development in copper and aluminums under ECAP", Ultrafine Grained Materials III. Vol32, pp.134-142,(2004).
  9. H. Sekine and R Chen, "A combined microstructure strengthening analysis of SiCp/Al metal matrix composites", Composites, Vol. 26, pp. 183-8, (1995).
  10. C. Lu, K. Tieu and D. Wexler, "Significantenhancement of bond strength in theaccumulative roll",Materials Science and Engineering A, Vol 324, pp.278–292, (2007).
  11. M. Alizadeh, "Comparison of nanostructured Al/B<sub>4</sub>C composite produced by ARB and Al/B<sub>4</sub>C composite produced by RRB process",Materials Science and Engineering A,Vol 528,pp.578–582, (2010).
  12. X. Huang, N. Kamikawa, N. Hansen, "Strengthening mechanisms in nanostructured aluminum", Mater Sci Eng. A, Vol 483, pp.102–4, (2008).
  13. L. Ghalandari and M. M. Moshksar, "High Strength andHigh Conductive Cu/Ag Multilayer Produced by ARB",Journal of Alloys and Compounds, Vol 506, pp.257-268, (2010).